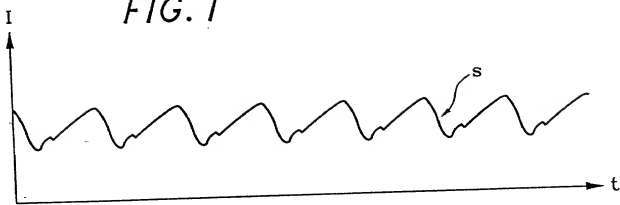


FIG. 1



© 1999 John Wiley & Sons, Ltd. *J. Clin. Ultrasound*, 27, 13–18

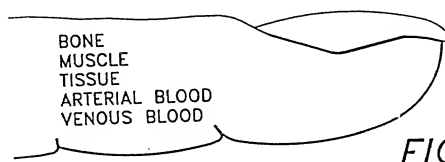
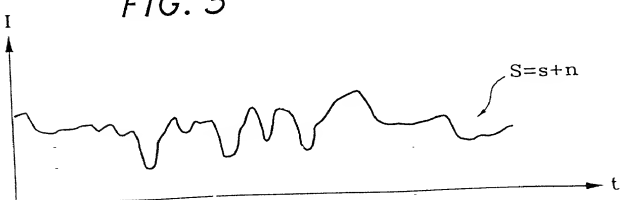


FIG. 2



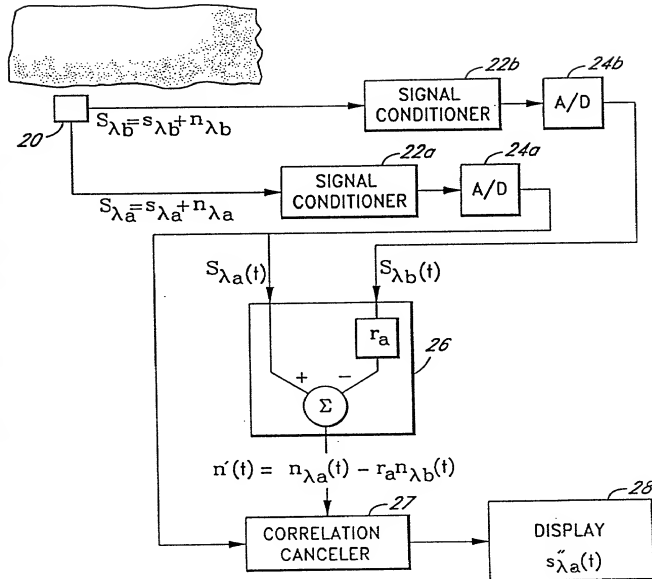


FIG. 4A

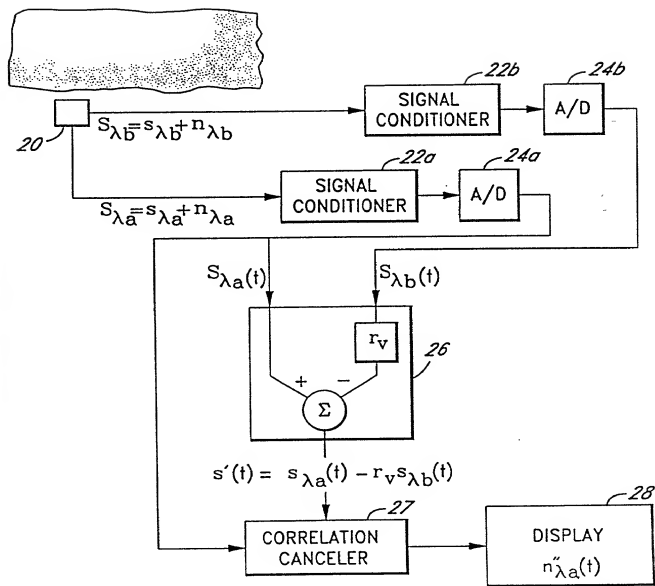


FIG. 4b

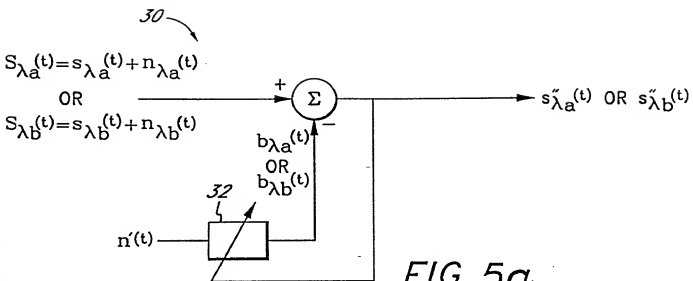


FIG. 5a

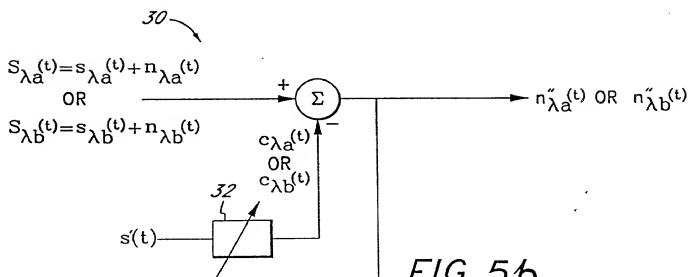


FIG. 5b

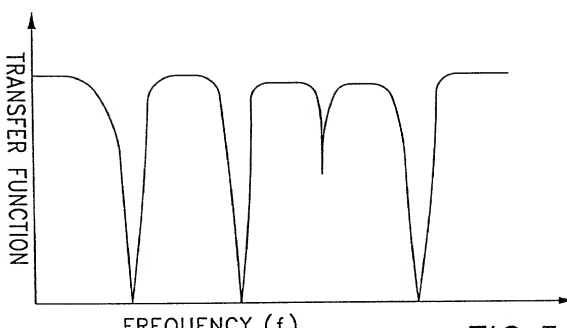


FIG.5c

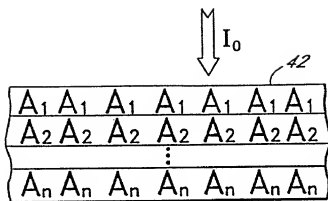


FIG. 6a

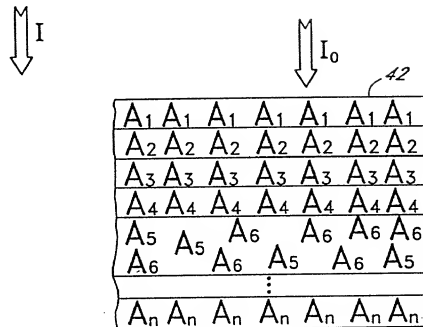


FIG. 6b

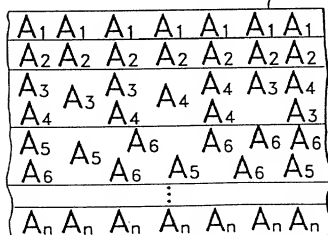
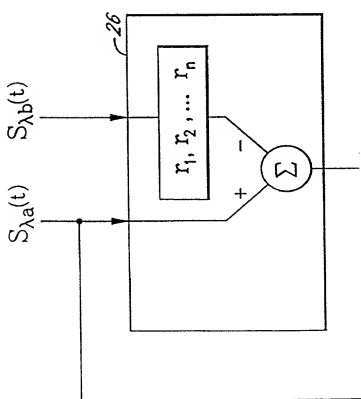


FIG. 6c

FIG. 7a



$$R(r_1, t) = S_{\lambda a}(t) - r_1 S_{\lambda b}(t) + \Pi_{\lambda a}(t) - r_1 \Pi_{\lambda b}(t)$$

$$R(r_2, t) = S_{\lambda a}(t) - r_2 S_{\lambda b}(t) + \Pi_{\lambda a}(t) - r_2 \Pi_{\lambda b}(t)$$

⋮

$$R(r_n, t) = S_{\lambda a}(t) - r_n S_{\lambda b}(t) + \Pi_{\lambda a}(t) - r_n \Pi_{\lambda b}(t)$$

FIG. 7b

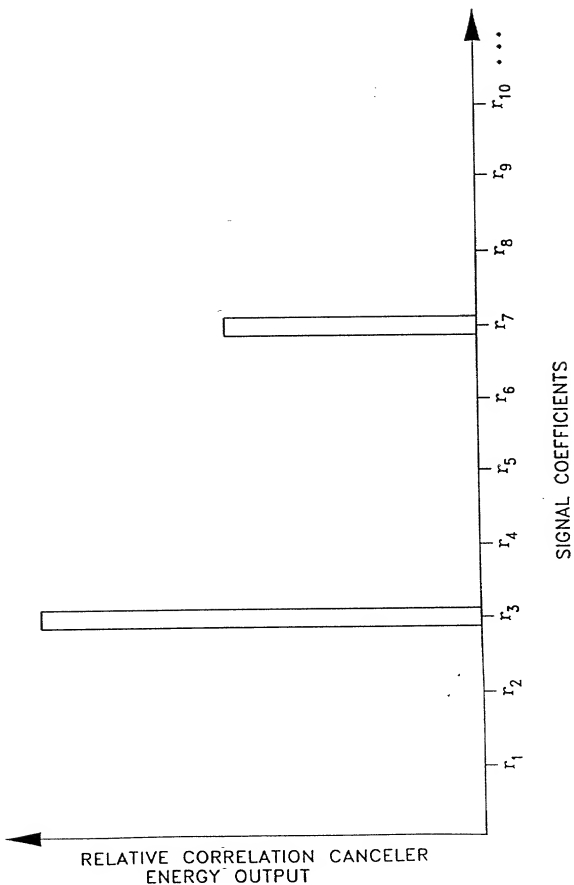


FIG. 7C

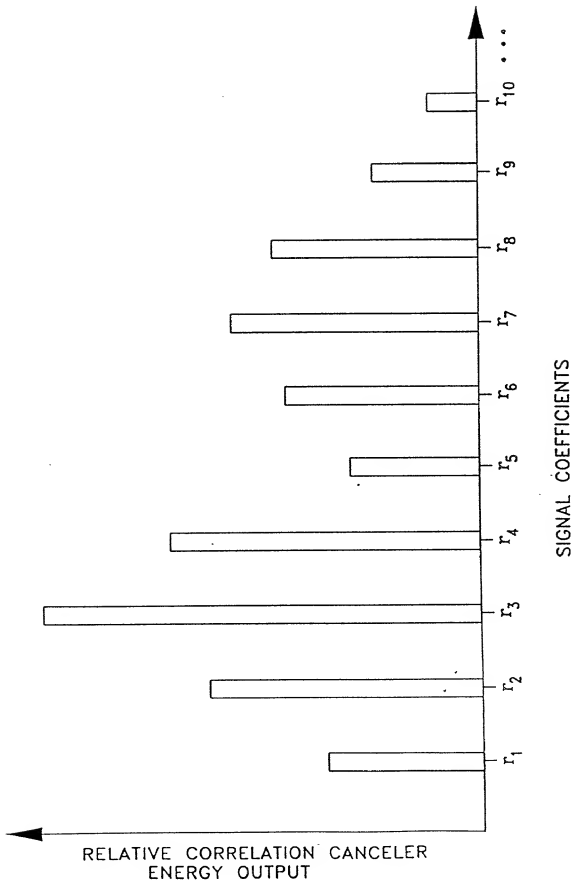
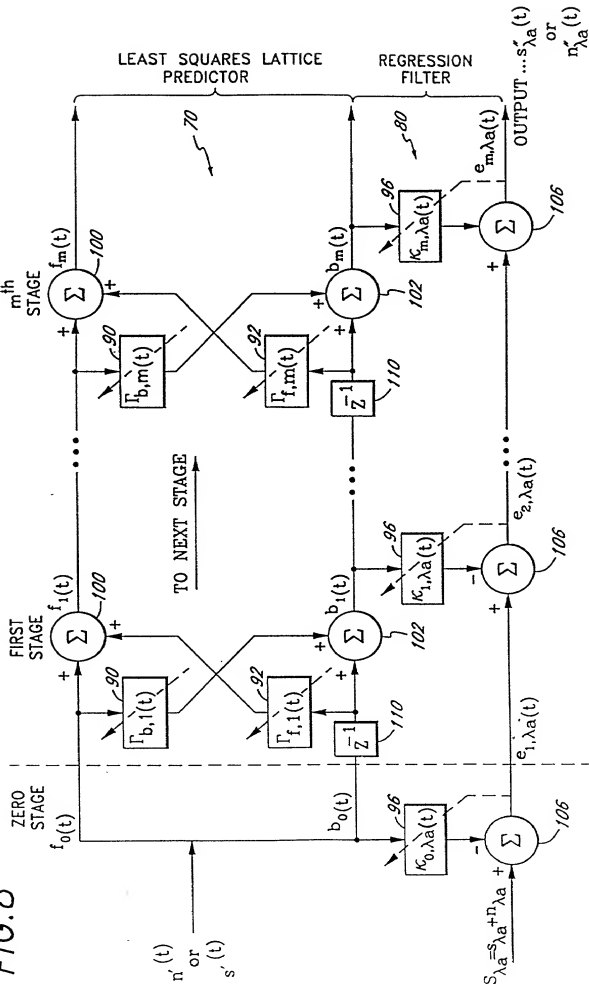
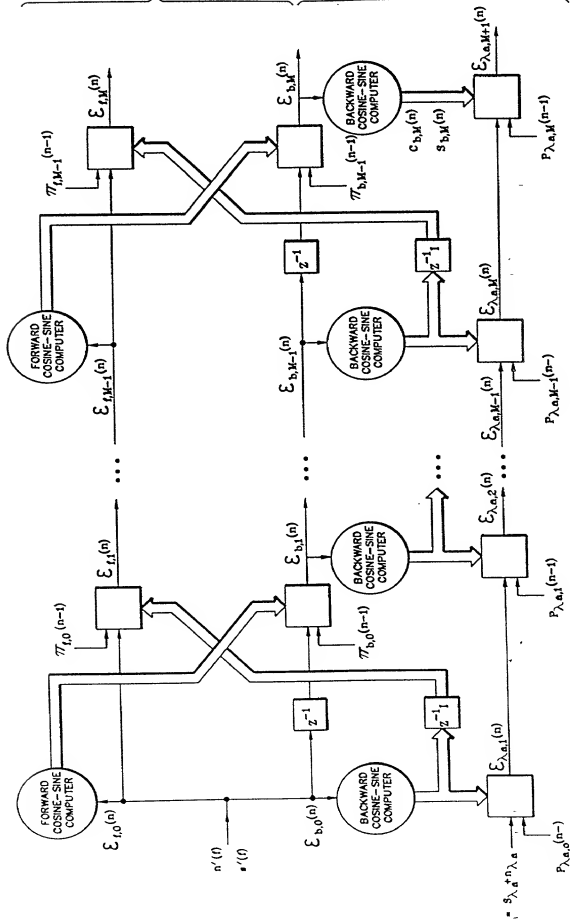


FIG. 8



QRD-LSL PREDICATOR

QRD-LSL FILTER



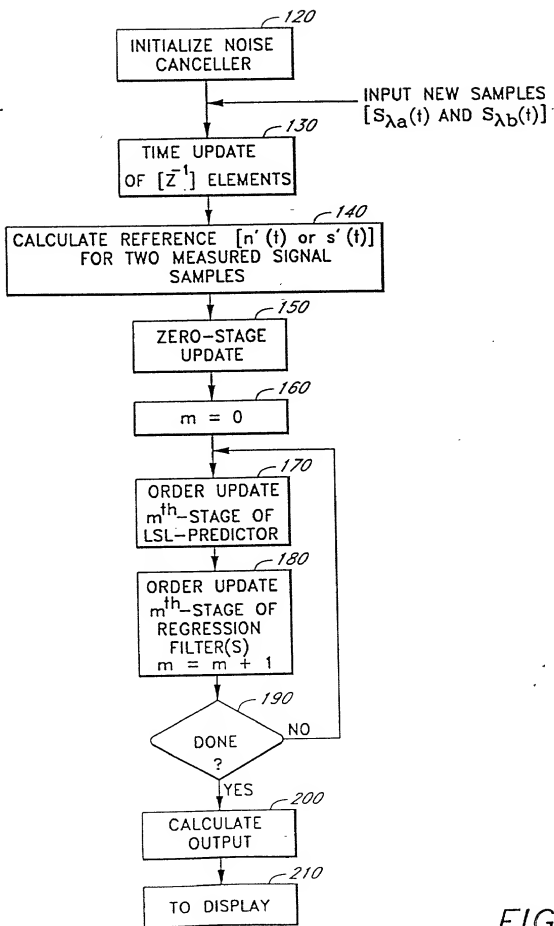


FIG. 9

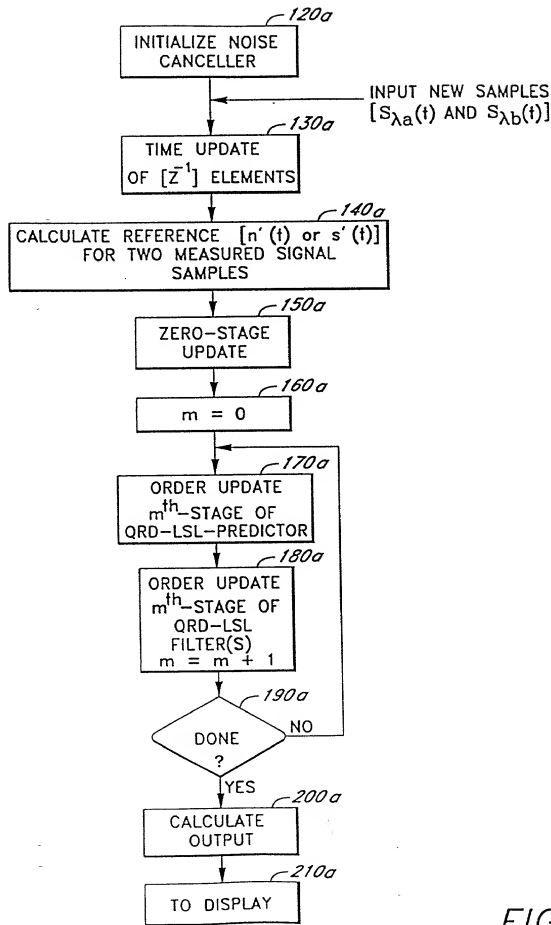
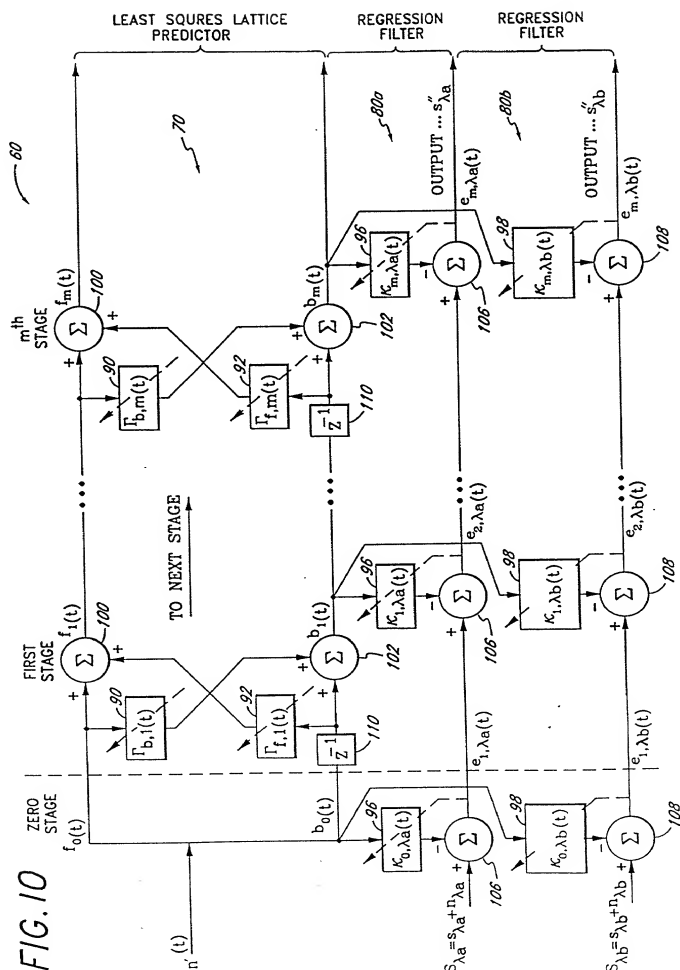
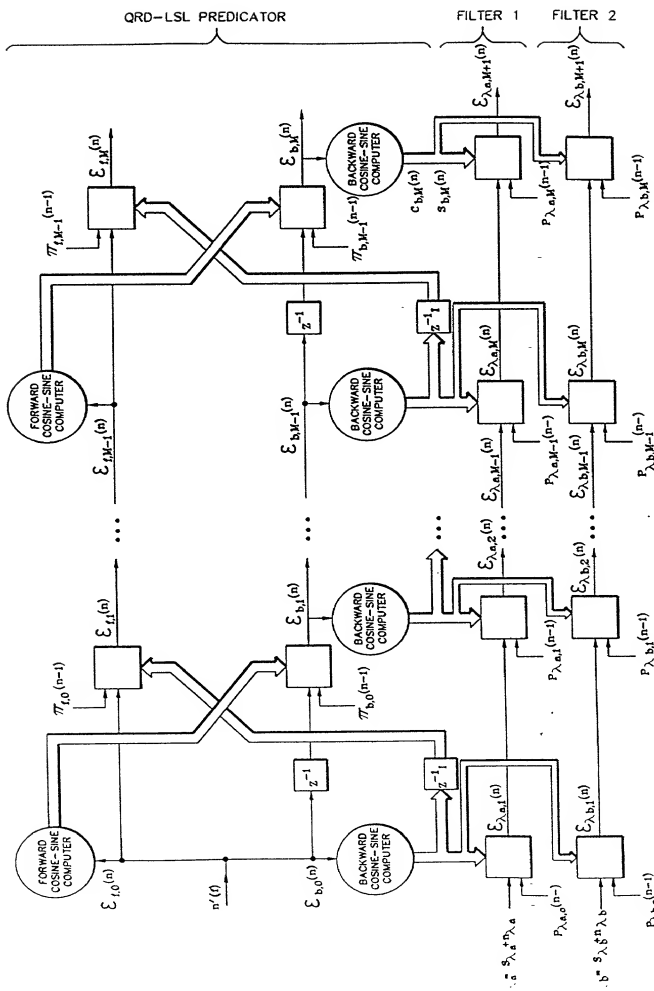


FIG.9a

FIG. 10





299
300
301
302
310
320
330
332
340
343
344
345
346
347
348
349
356

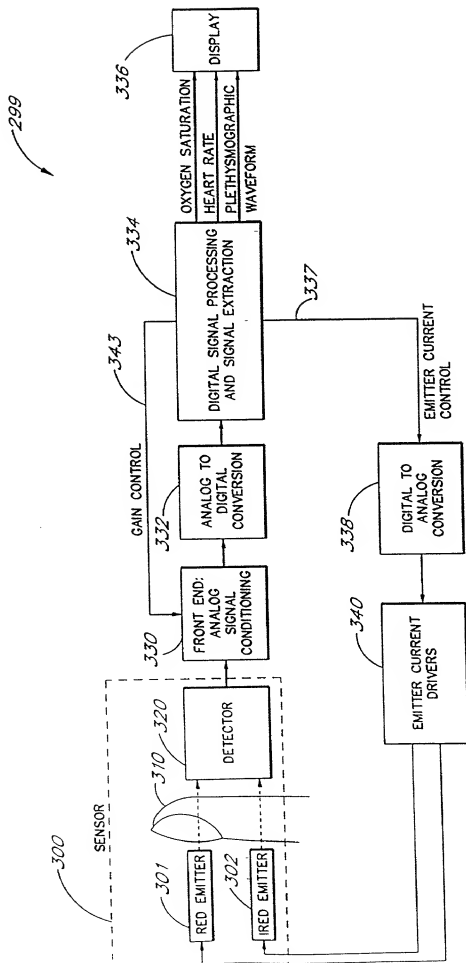
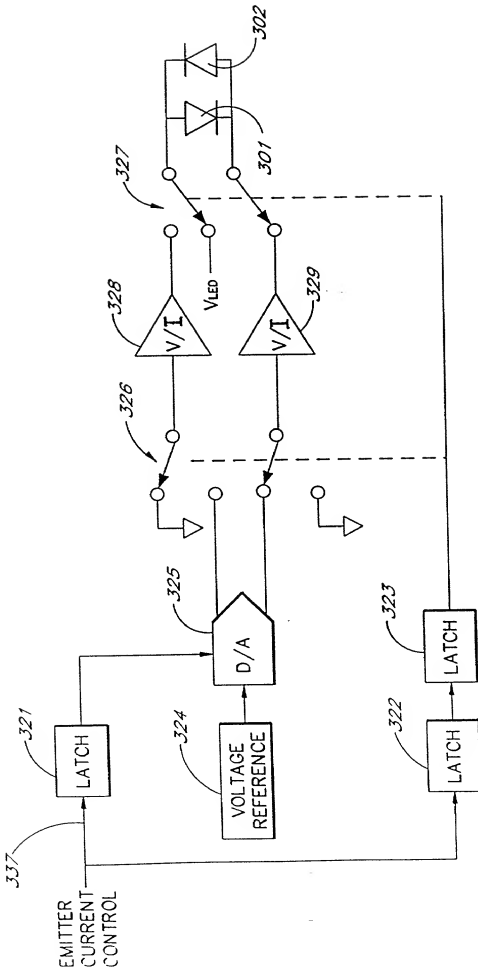
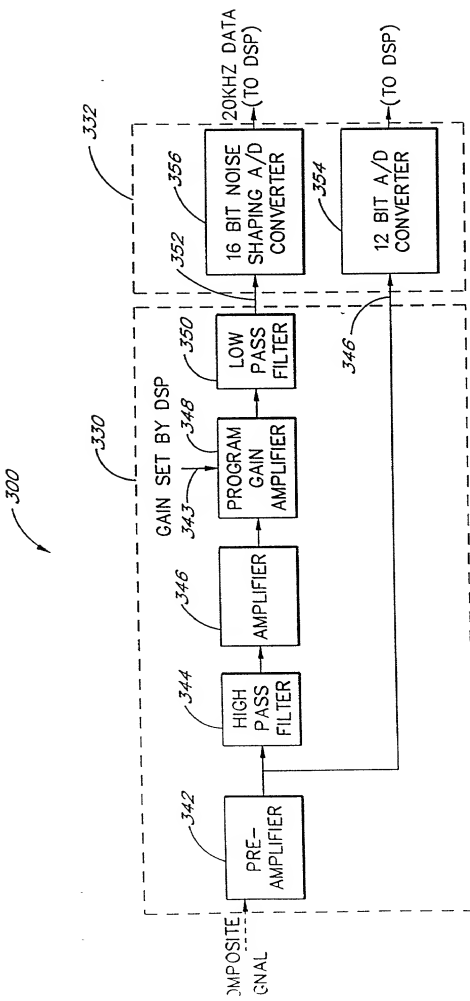


FIG. 11A



F/G. 12



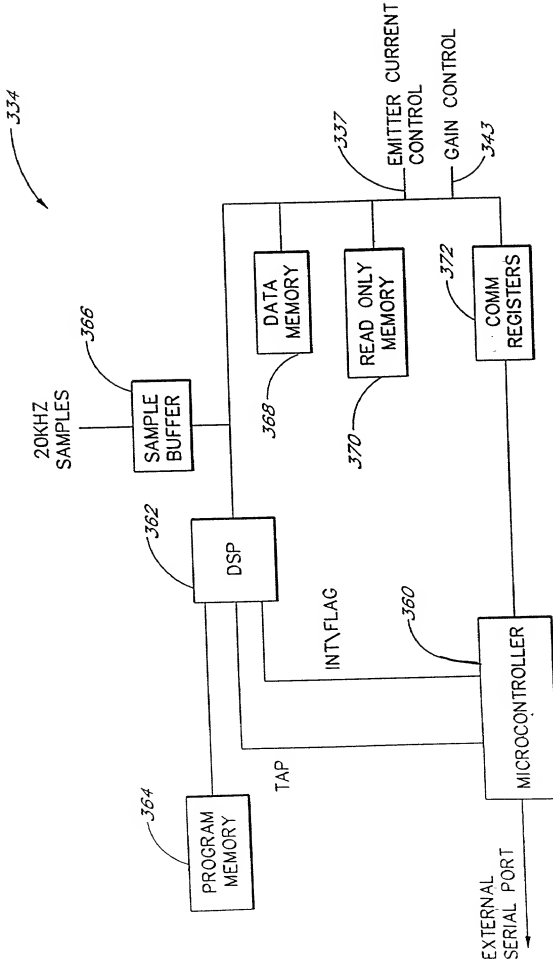
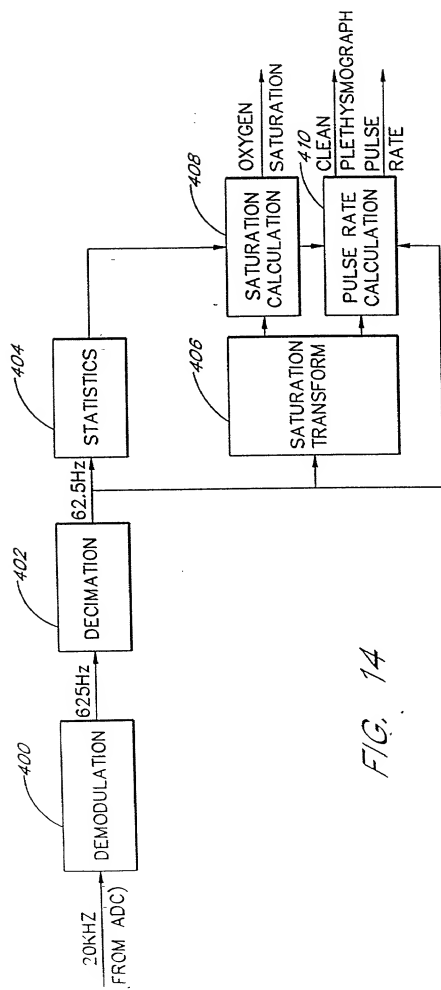
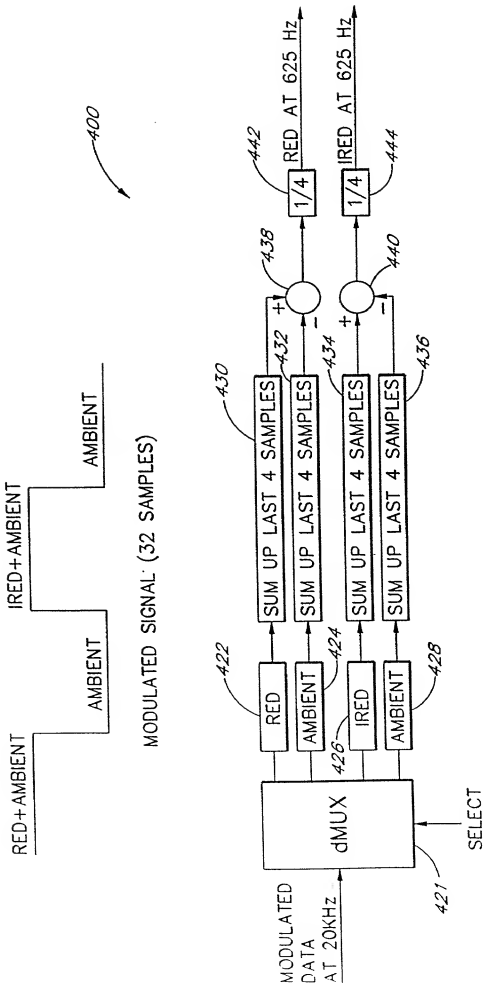


FIG. 13



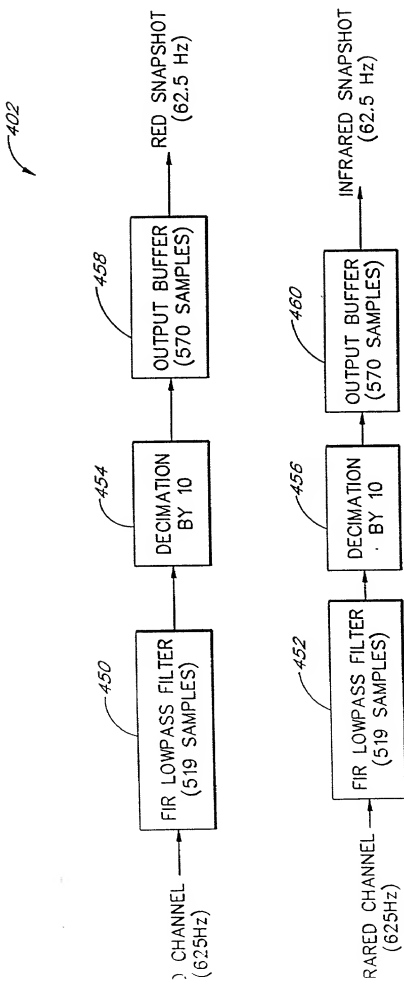
F/G. 14

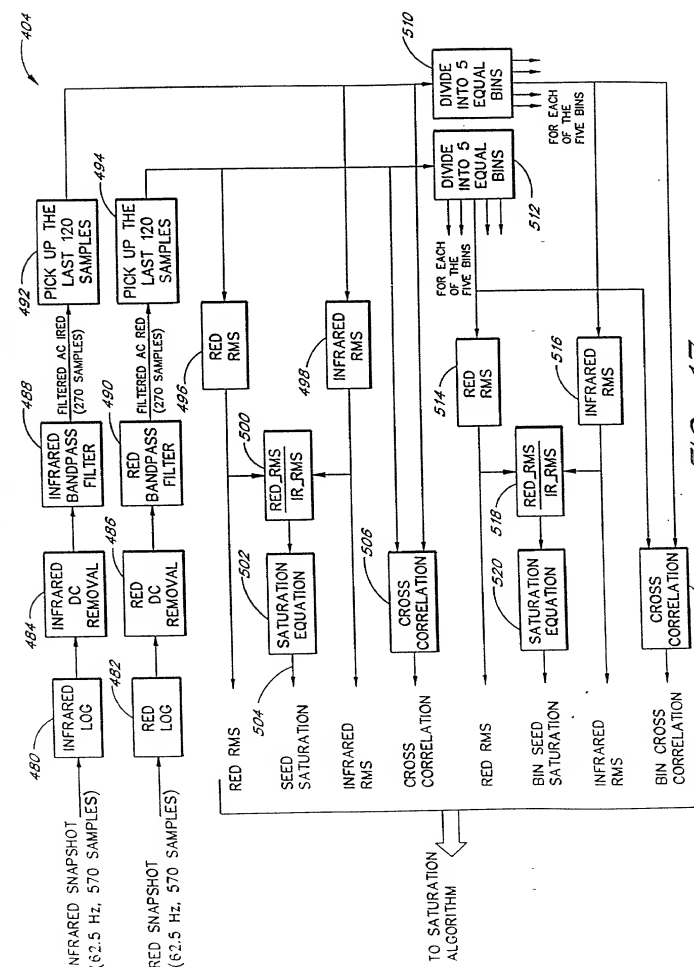
FIG. 15



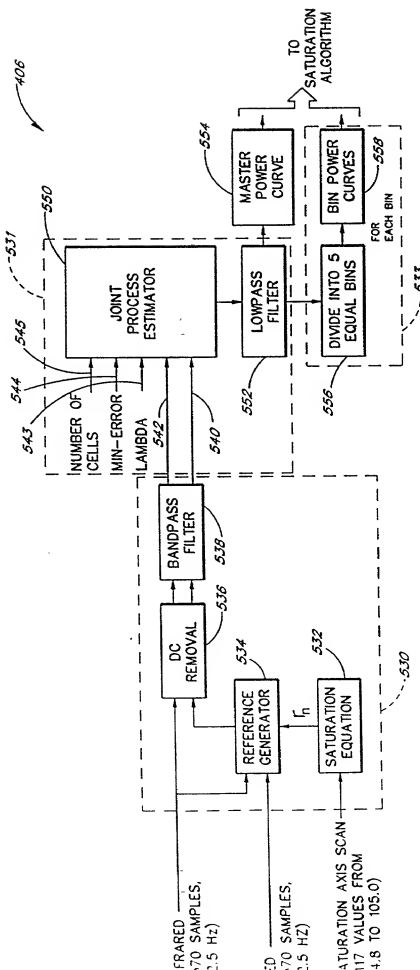
F/G. 16

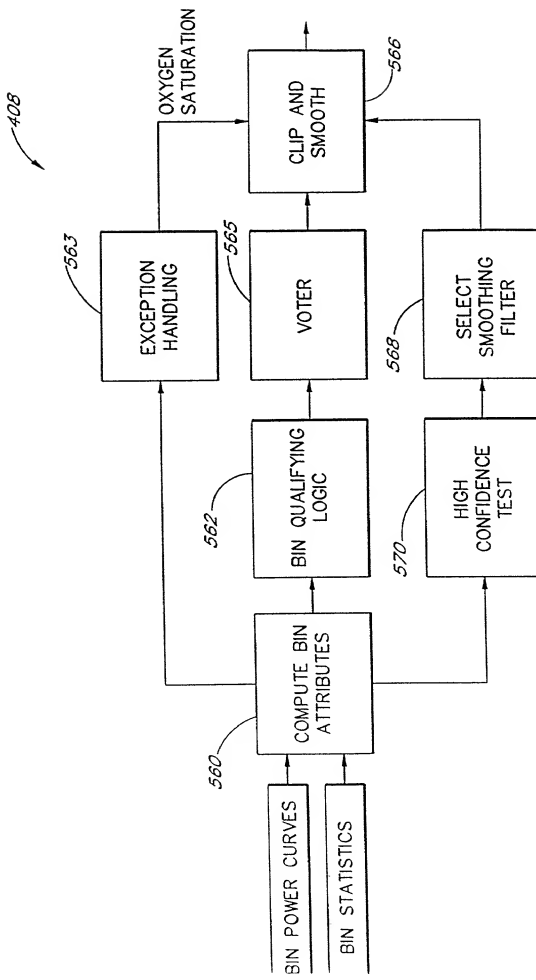
402
458
454
450
452
456
460





F/G. 17





© 1984 IEEE 100-1984 100-1984 100-1984 100-1984

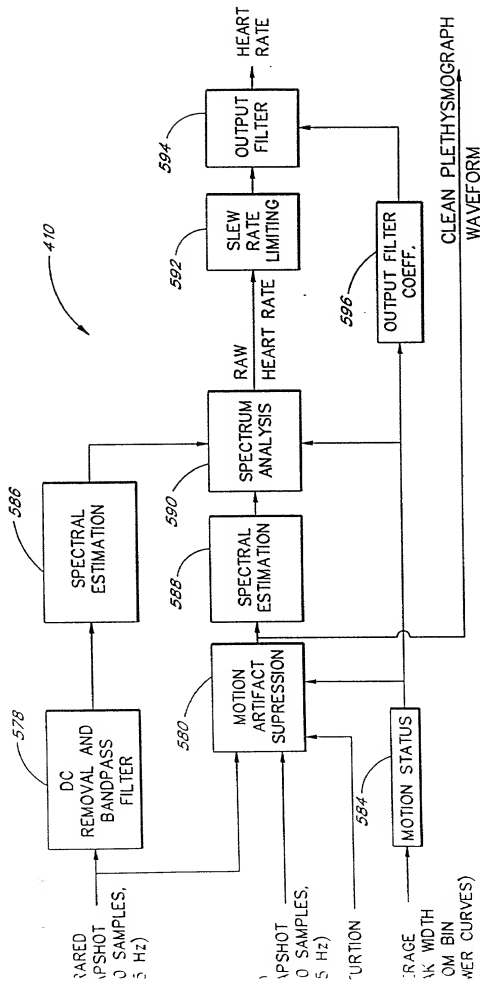
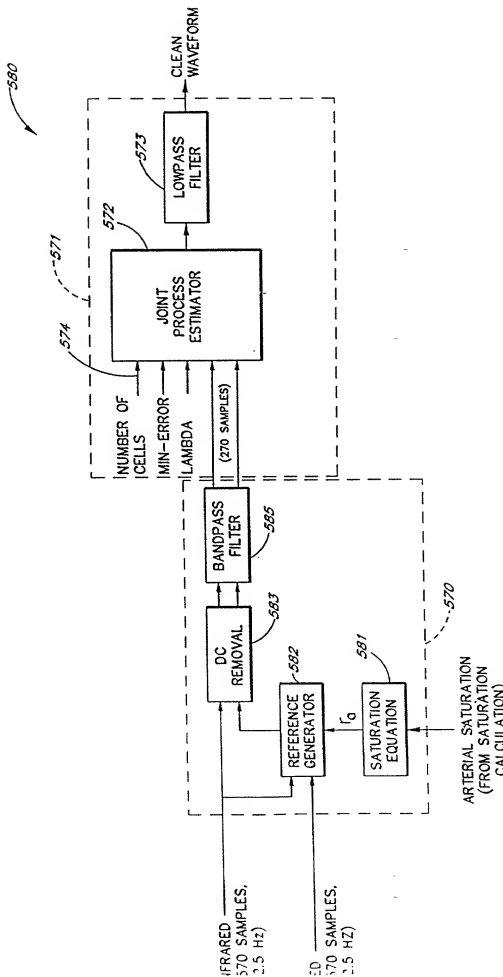
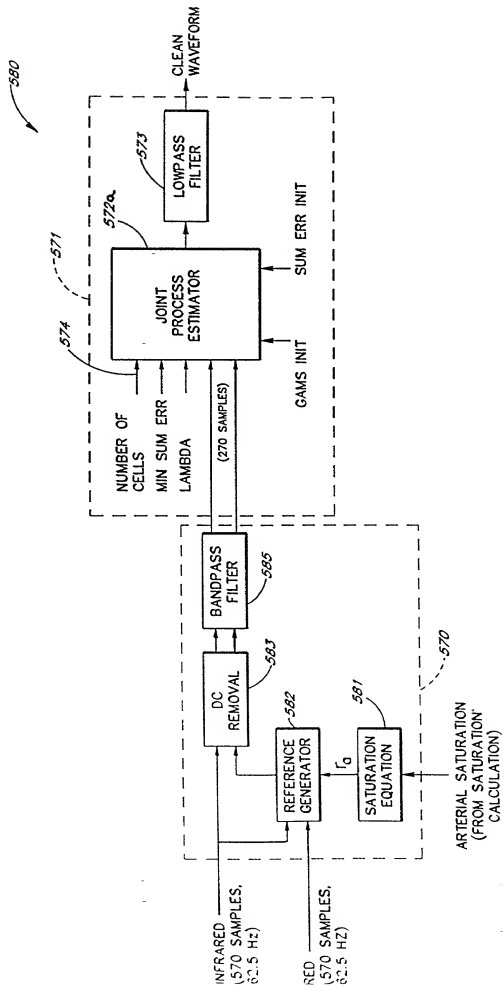


FIG. 20

F/G. 21

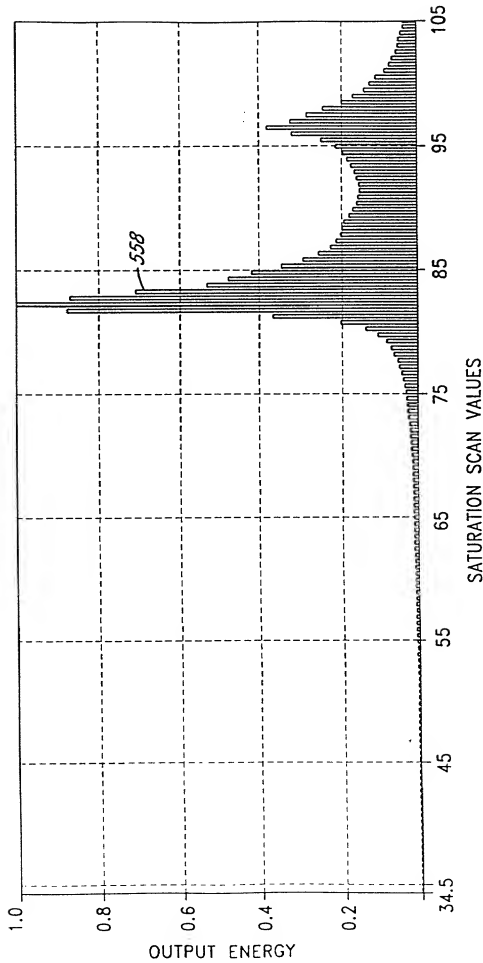
570 SAMPLES, 2.5 Hz





F/G. 21a

FIG. 22



F/G. 23

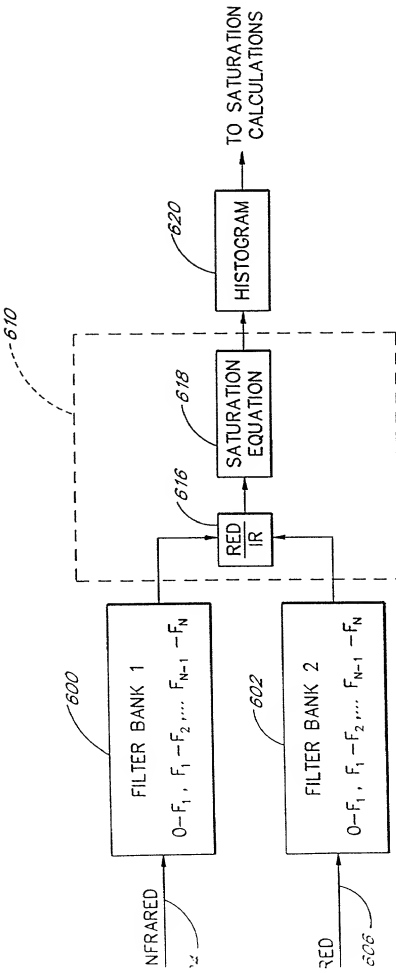


FIG. 24

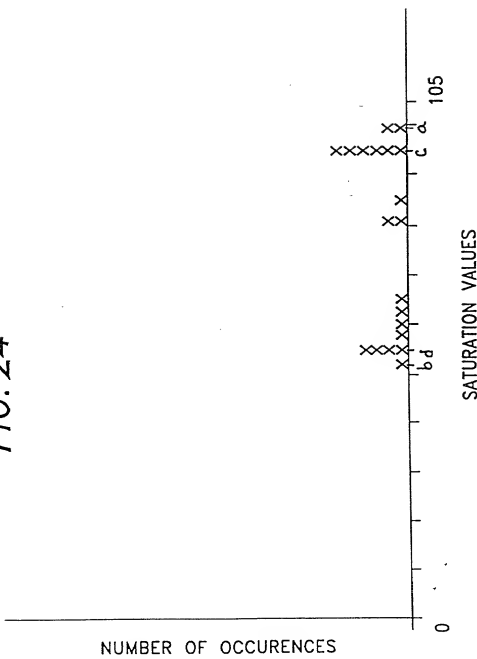


FIG. 25A

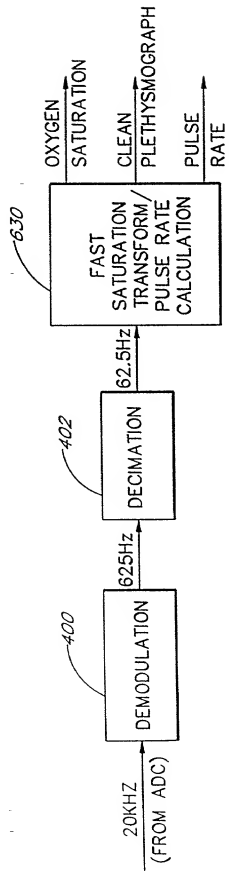
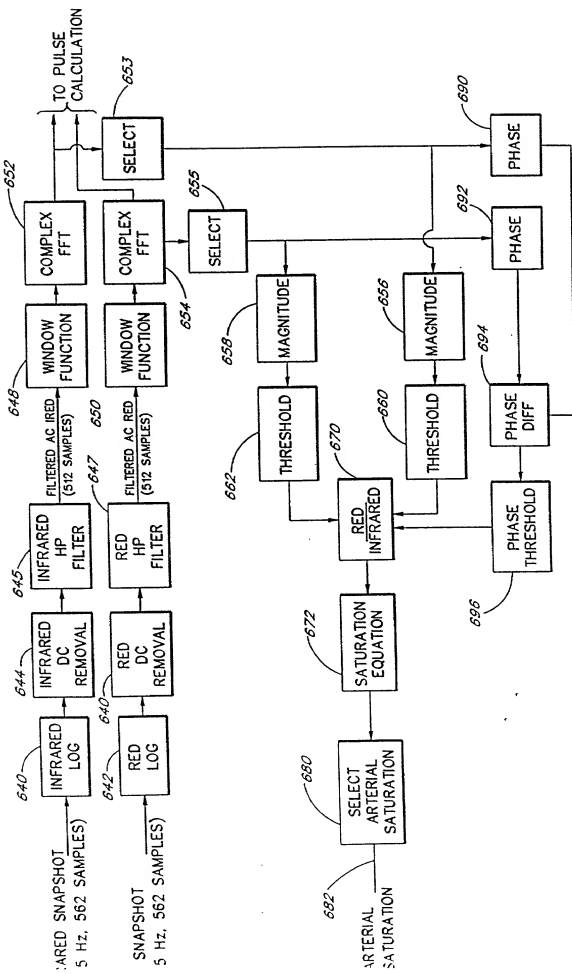
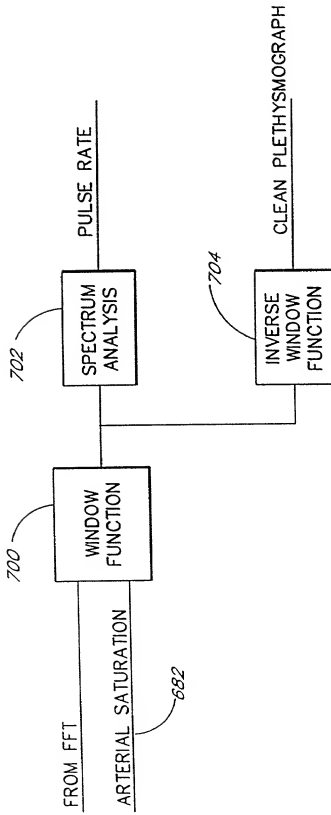


FIG. 25B





F/G. 25C

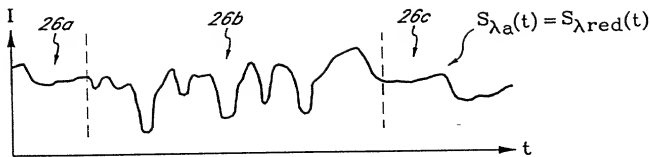


FIG. 26

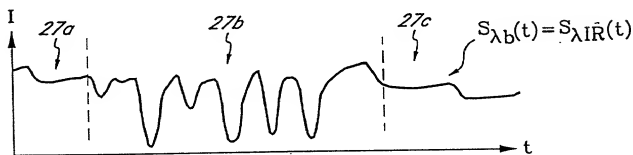


FIG. 27

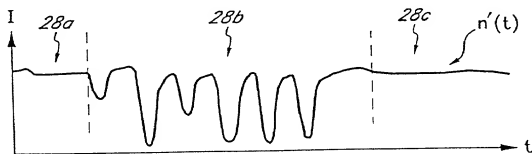


FIG. 28

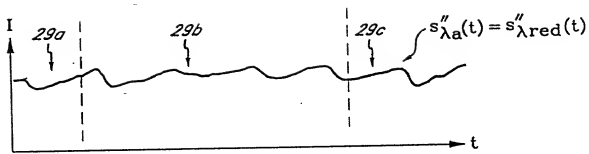


FIG. 29

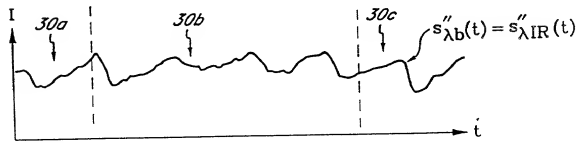


FIG. 30

FIG. 31

